

II-123 段落下流部の流況について(2)

日大 理工 正 栗津 清蔵
日大 理工 正 大津 岩夫
日大 理工 学 ○春 日貴士

はじめに 従来、開水路段落部の水理特性に関する実験的研究としては、常流を対象とした二、三の研究が報告されている。一方、段落部において常流から射流を経て常流へと遷移する場合(図-1)の水理特性に関してはRandの研究があるが、下流水深がナップ先端より跳水を生じる場合の跳水必要水深 h_d^* よりも大きい場合についての検討はなされていない。実際にはこのような流況になる場合が多いと考えられ、その水理特性を知ることは水工設計上必要と考えられる。ここでは、傾斜角付き段落ち($\theta = 22^\circ, 45^\circ$)、鉛直段落ちについてその水理特性を実験的に検討した。⁽¹⁾⁽²⁾

流れ 段落部において常流から射流を経て常流へ遷移する場合、段落下流部の流況は図-2に示すよう

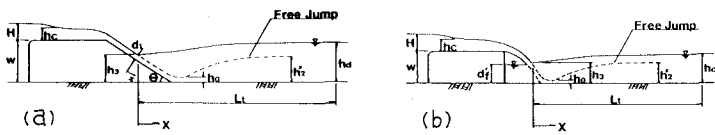


図-1

に下流水深によって変化し、TYPE 1(最大流速 U_m が水路床近くにあり、水面に逆流が生じる)とTYPE 2(U_m が水面にあり、底部に逆流が生じる)とに分けられる。本研究で対象とするのはTYPE 1の流況である。⁽⁴⁾

遷移領域の長さ 流速分布が一般開水路流の場合と同様となる最初の断面を $X = L_t$ とし、 L_t を遷移領域の長さとする。 L_t を式(1)の関係で整理し、図-3に示す。実線は式(2)、破線は式(3)を示したものである。実験値は θ には影響されないことがわかる。

$$f(L_t/H_L, H_L/H_1) = 0 \quad (1)$$

$$\log(L_t/H_L) = -1.71(H_L/H_1) + 1.72 \quad (2)$$

$$\log(L_t/H_L) = -4.66(H_L/H_1) + 2.41 \quad (0.05 \leq H_L/H_1 \leq 0.25) \quad (3)$$

上下流端水深関係 遷移領域始端断面と終端断面($X = L_t$ の断面)の水深関係を支配する因子を次元解析的考察により求めると、傾斜角 θ のある場合、鉛直段落ち($\theta = 90^\circ$)の場合についてそれそれ、式(4), (5)が得られる。

$$f(h_d/h_2^*, h_3/h_0, F_o, \theta) = 0 \quad (4)$$

$$f(h_d/h_2^*, h_3/h_0, F_o) = 0 \quad (5)$$

式(4)の関係で $\theta = 22^\circ, 45^\circ$ および $\theta = 90^\circ$ の場合の実験値を整理すると、

図-4, 5のように θ には無関係に式(5)の関係で示され、実験式(6)^{*}(図-4, 5:各実線)が得られる。

$$\log(h_d/h_2^*) = 0.155 \log F_o + 0.214 (h_3/h_0) / F_o^{1.299} - 0.128 \quad (6)$$

$$(2 \sim 2.5 \leq F_o \leq 4.5 \sim 5)$$

ナップ先端水深 h_0 h_c 断面~ h_0 断面間でエネルギー損失を無視し、ベルヌーイの定理を適用すると式(7)が得られる。

$$W/h_c = \{1/(h_0/h_c)^2 + 2(h_0/h_c) - 3\} / 2 \quad (7)$$

* 図中、一点録線はTYPE 1→2、破線はTYPE 2→1の移行を示す。

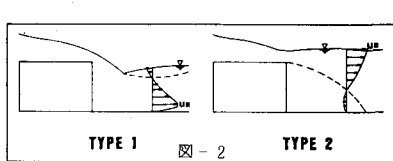


図-2

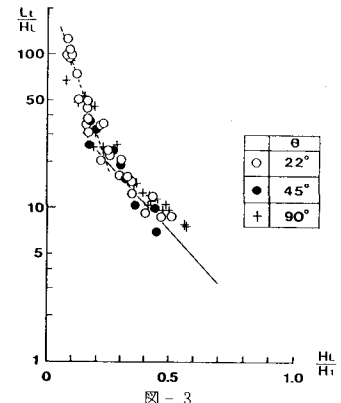


図-3

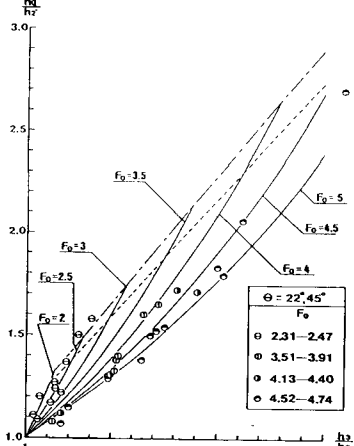


図-4

実験値と式(7)とを比較したものと図-6に示す。実験値は式(7)とは一致せず、Randの式 $h_0/w = 0.54(h_0/w)^{1.75}$ に適合する。実験値が式(7)と一致しないのはエネルギー損失を無視したためと考えられる。

ナップ下のアール水深比および df 図-1(b)の hd 断面～ hd 断面間をコントロール・ボリュームに選び、運動量方程式を適用すると式(8)が得られる。
また、 df と hd の関係については Moore により式(9)が与えられている。

$$(df/hc)^2 = (hd/hc)^2 + 2/(hd/hc) - 3 \quad (8)$$

$$(df/hc)^2 = (hd/hc)^2 + 2/(hd/hc) - 3 \quad (9)$$

式(8)、(9)と実験値とを比較すると(図-7)两者ともにほぼ一致している。

遷移領域内部の流速特性 最大流速 U_m は $\theta = 22^\circ, 45^\circ, 90^\circ$ の場合、全て $X \leq L_t$ で減衰する。⁷⁷⁾ また、図-8 は $\theta = 90^\circ$ の場合に、ナップ下を通気した場合と通気しない場合の U_m の減衰状況を比べたものである。これよりナップ下の通気の有無は U_m の減衰にはあまり影響を及ぼさないと思われる。内部の流速分布については図-9 で定義される Y と U_m を用いて $U/U_m = f(Y/Y)$ の関係で整理し、一例を図-10 に示す。流速分布は F_0 、 X に無関係に $X \leq (0.6 \sim 0.7)L_t$ でほぼ相似な分布となる。また、 Y_1 、 Y (図-9)の変化については $Y_1 \propto X$ 、 $Y \propto X$ となり、 $Y_{1,0.5}$ とともに $X \leq (0.6 \sim 0.7)L_t$ で潜り跳水の近似式をほぼ満足する。

底面せん断力 T_0 では図-11 に示されるように、 $X \leq (0.6 \sim 0.7)L_t$ において減少し、それ以後はほとんど一定となる。⁷⁷⁾

TYPE 1 となる条件 図-12 の実線はそれぞれ鉛直段落の場合における TYPE 1 → 2 (式(10))、TYPE 2 → 1 (式(11)) の

移行を示したものである。したがって、

TYPE 1 となるのはこれらの曲線の下側領域の場合である。また、 $\theta = 22^\circ$ の場合は $\theta = 90^\circ$ の場合よりもやや大きな値となっている。
 $(hd)_1/hc = 9.03 e^{-0.2/W/H} - 7.70 (0.2 \leq W/H \leq 3.2)$ (10)
 $(hd)_2/hc = 6.03 e^{-0.443/W/H} - 4.66 (0.2 \leq W/H \leq 3.2)$ (11)

** 壁面摩擦力を無視し、各断面で静水圧分布するものとし、運動量係数 β は 1 とした。

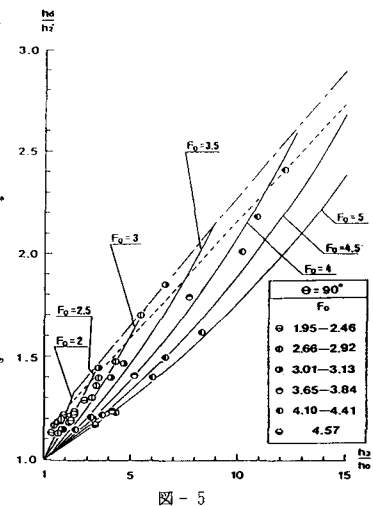


図-5

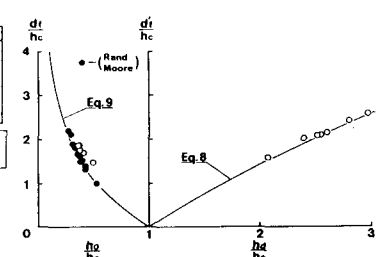


図-7

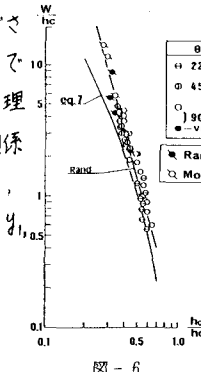


図-6

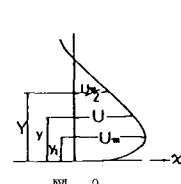


図-9

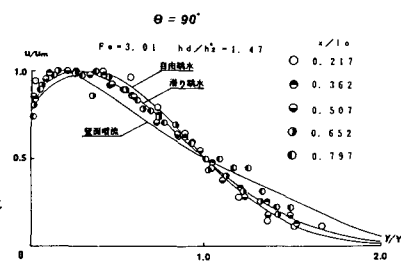


図-10

図-8

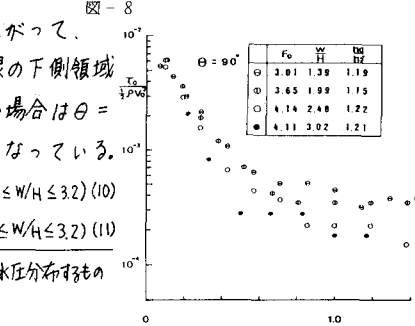


図-11

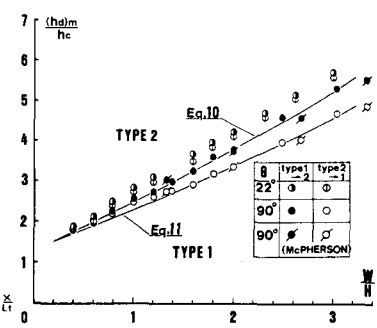


図-12

記号

h : 限界水深、 H : 越過水深、 X : 水路床に沿った座標、 hd : ナップ先端の平均流速、 h_0 : 運動粘度/底面摩擦水深、 hc : 無砂槽/終端水深、 $F_0 = 26/\sqrt{gh_0}$ 、 $h_0^2 = h_0(\sqrt{F_0^2 + 1} - 1)/2$ 、 $(hd)_{dm}$: TYPE 1 → 2 のときの hd 、 $(hd)_{m2}$: TYPE 2 → 1 のときの hd 、 df : 射流で漏下した場合のナップ下のアール水深

参考文献

- 1) 芦田和男, 土研報告, 246号, 1960, 2) 横・平野, 九大集報, 1970, 3) Rand, W., Proc. ASCE, Vol. 81, 1955, 4) 藤津・大津・丸山, 31回年譲, II-129, 1976, 5) 大津岩太, 土木学会論文集, 246号, 1976, 6) 大津岩太, 土木学会論文集, 311号, 1981, 7) 増田・栗田・大津, 39回年譲, II-267, 1984, 8) Moore, W.L., Trans. ASCE, Vol. 108, 1943, 9) McPherson, M.B., Discussion of "Seven Exploratory Studies in Hydraulics" by Rouse, ASCE, 1957,